

**Об одном критерии для регуляризации обрезанием
в координатном представлении**

Александр В. Иванов

Санкт-Петербургское отделение Математического института им. В.А.Стеклова РАН,
Фонтанка 27, Санкт-Петербург, 191023, Россия

Санкт-Петербургский международный математический институт им. Леонарда Эйлера,
Песочная наб. 10, Санкт-Петербург, 197022, Россия

E-mail: regul1@mail.ru

05 марта 2024 г.

К 90-летию Л.Д.Фаддеева

Аннотация. В работе обсуждается критерий допустимости для регуляризации обрезанием в координатном представлении в евклидовом пространстве с размерностью больше двух. Показано, что множество функций, удовлетворяющих критерию, не пусто. В качестве примера приведена функция в явном виде. Доказано путем явного построения, что существуют функции, удовлетворяющие критерию в более строгой формулировке.

Ключевые слова и фразы: регуляризация обрезанием, функция Грина, фундаментальное решение, деформация, координатное представление.

ПРЕПРИНТЫ

Санкт-Петербургского отделения
Математического института им. В. А. Стеклова
Российской академии наук

PREPRINTS

of the St. Petersburg Department of Steklov Institute of Mathematics

ГЛАВНЫЙ РЕДАКТОР

С. В. Кисляков

РЕДКОЛЛЕГИЯ

В. М. Бабич, М. А. Всемиров, А. И. Генералов,
И. А. Ибрагимов, Л. Ю. Колотилина, Ю. В. Матиясевич,
Н. Ю. Нецветаев, С. И. Репин, Г. А. Серегин

Учредитель: Федеральное государственное бюджетное учреждение науки
Санкт-Петербургское отделение Математического института
им. В.А.Стеклова Российской академии наук

Свидетельство о регистрации средства массовой информации:
ЭЛ №ФС 77-33560 от 16 октября 2008 г.
Выдано Федеральной службой по надзору
в сфере связи и массовых коммуникаций

Контактные данные:

191023, г. Санкт-Петербург, наб. реки Фонтанки, дом 27
телефоны: (812) 312-40-58; (812) 571-57-54
e-mail: admin@pdmi.ras.ru
<https://www.pdmi.ras.ru/preprint/>

Заведующая информационно-издательским сектором В. Н. Симонова

1 Введение

В различных моделях квантовой теории поля [1, 2] возникают расходящиеся интегралы. Как правило, это связано с тем фактом, что обобщенные функции [3], которые должны рассматриваться на определенном тестовом классе, действуют на другие обобщенные функции. Это приводит к появлению неинтегрируемых особенностей. Для работы с такими объектами необходима промежуточная регуляризация, выбор которой зависит от симметрий модели и существенным образом влияет на процесс дальнейших исследований.

В работе [4] была предложена регуляризация обрезанием в координатном представлении. Позже она была усовершенствована [5] и успешно применена к ряду моделей [6–8]. В данной работе планируется сформулировать критерий допустимости для такой регуляризации, доказать его выполнимость и привести конкретные примеры.

Пусть $n \in \mathbb{N}$ и $n > 2$. Рассмотрим евклидово пространство \mathbb{R}^n со стандартным скалярным произведением векторов (\cdot, \cdot) . Определим оператор Лапласа $A_n(x)$ и его фундаментальное решение $G_n(x)$, которые в декартовых координатах имеют вид

$$A_n(x) = - \sum_{k=1}^n \partial_{x_k}^2, \quad G_n(x) = \frac{|x|^{2-n}}{(n-2)S_{n-1}}, \quad S_{n-1} = \frac{2\pi^{n/2}}{\Gamma(n/2)}.$$

Именно $G_n(\cdot)$, как правило, используется в качестве главного приближения функции Грина, и поэтому исследование его свойств является важной задачей. Ясно, что последние объекты решают уравнение $A_n(x)G_n(x-y) = \delta(x-y)$ в смысле обобщенных функций на классе Шварца $S(\mathbb{R}^n)$.

Упомянутая выше регуляризация заключается в деформации следующего вида

$$\begin{aligned} G_n(x) \xrightarrow{\text{рег.}} G_n^{\Lambda, \mathbf{f}}(x) &= \frac{\Lambda^{n-2}}{(n-2)S_{n-1}} \mathbf{f}(|x|^2 \Lambda^2) + \frac{1}{(n-2)S_{n-1}} \begin{cases} \Lambda^{n-2}, & \text{для } |x| \leq 1/\Lambda; \\ |x|^{2-n}, & \text{для } |x| > 1/\Lambda, \end{cases} \\ &= \frac{\Lambda^{n-2}}{(n-2)S_{n-1}} \mathbf{f}(|x|^2 \Lambda^2) + G_n^{\Lambda, \mathbf{0}}(x), \end{aligned} \quad (1)$$

где Λ – регуляризующий параметр, и $\mathbf{f}(\cdot) \in C([0, +\infty), \mathbb{R})$ – вспомогательная деформирующая функция, удовлетворяющая свойствам

$$\text{supp}(\mathbf{f}(\cdot)) \subset [0, 1] \quad \text{и} \quad A_n(x) \Lambda^{n-2} \mathbf{f}(|x-y|^2 \Lambda^2) \xrightarrow{\Lambda \rightarrow +\infty} 0.$$

Для такого вида деформации справедлив переход $A_n(x)G_n^{\Lambda, \mathbf{f}}(x-y) \rightarrow 0$ при снятии регуляризации $\Lambda \rightarrow +\infty$ в смысле обобщенных функций на $S(\mathbb{R}^n)$. Из построения следует, что деформация производится только в замкнутом шаре $B_{1/\Lambda}$ радиуса $1/\Lambda$ с центром в нуле, поэтому при $|x| > 1/\Lambda$ верно равенство $G_n(x) = G_n^{\Lambda, \mathbf{f}}(x)$. Простыми словами можно сказать, что при введении регуляризации производится обрезание растущей функции в области $B_{1/\Lambda}$.

При изучении квантово-полевых моделей регуляризованное фундаментальное решение является ядром оператора в квадратичной форме, значение которой не должно быть отрицательным. Другими словами, преобразование Фурье функции $G_n^{\Lambda, \mathbf{f}}(\cdot)$ не должно принимать отрицательных значений при всех значениях аргумента и всех $\Lambda > N > 0$ для некоторого фиксированного числа N . На математическом языке такое соотношение можно сформулировать так

$$\hat{G}_n^{\Lambda, \mathbf{f}}(y) = \int_{\mathbb{R}^n} d^n x e^{(y, x)} G_n^{\Lambda, \mathbf{f}}(x) \geq 0, \quad (2)$$

для всех $y \in \mathbb{R}^n$ и $\Lambda > N > 0$. Данное соотношение является критерием допустимости для регуляризации. Оно определяет класс допустимых функций $\mathbf{f}(\cdot)$, для которых спектральная плотность не будет иметь отрицательных значений.

В краткой форме основные результаты работы можно изложить следующим образом:

- лемма 1 содержит формулировку критерия относительно деформирующей функции;

- в лемме 2 показано, что множество функций, удовлетворяющих критерию, не пусто;
- в лемме 3 приведен явный вид функции, удовлетворяющей критерию;
- в лемме 4 построена функция, удовлетворяющая критерию в строгой формулировке.

2 Результаты

Лемма 1. *С учетом всего вышеизложенного критерий допустимости (2) можно эквивалентно представить условием*

$$\frac{s^2}{n-2} \int_0^1 dt t^{n-1} \rho_n(ts) \mathbf{f}(t^2) + \rho_n(s) \geq 0 \text{ для всех } s \geq 0, \quad (3)$$

где

$$\rho_n(s) = \Gamma(n/2)(s/2)^{1-n/2} J_{n/2-1}(s), \quad (4)$$

и $J_{n/2-1}(\cdot)$ – функция Бесселя первого рода.

Доказательство. Подставим явный вид деформированного фундаментального решения (1) в неравенство (2) и воспользуемся соотношениями, см. формулы (20) и (30) в [5] и теорему 4.15 в [9],

$$\int_{\mathbb{R}^n} d^n x G_n^{\Lambda, \mathbf{0}}(x) e^{(x,y)} = \frac{\rho_n(|y|/\Lambda)}{|y|^2} \text{ и } \rho_n(|y|) = \frac{1}{S_{n-1}} \int_{S^{n-1}} d^{n-1} \sigma(\hat{x}) e^{(\hat{x}, y)}, \quad (5)$$

где в последнем равенстве было использовано интегрирование по единичной сфере S^{n-1} с центром в нуле со стандартной мерой, $\hat{x} = x/|x|$. Далее, используя тот факт, что $|y| \geq 0$ и $\Lambda > N > 0$, можно перейти к параметру $s = |y|/\Lambda$, из чего и следует окончательный вид (3). \square

Лемма 2. *Пусть $k \in \mathbb{N} \setminus \{0\}$. Рассмотрим набор мультииндексов $\{\alpha_i\}_{i=1}^k$, компоненты которых являются положительными числами из интервала $(0, 1/2]$ и удовлетворяют соотношению*

$$2 \sum_{j=1}^{\dim(\alpha_i)} (\alpha_i)_j \leq 1 \text{ для всех } i \in \{1, \dots, k\}. \quad (6)$$

Далее для каждого мультииндекса α_i определим интегральный оператор вида

$$\mathbb{H}_{\alpha_i}^{\Lambda} : g(x) \rightarrow \mathbb{H}_{\alpha_i}^{\Lambda}(g)(x) = \left(\prod_{j=1}^{2 \dim(\alpha_i)} \int_{S^{n-1}} \frac{d^{n-1} x_j}{S_{n-1}} \right) g \left(x + \Lambda^{-1} \sum_{m=1}^{\dim(\alpha_i)} (x_{2m} + x_{2m-1}) (\alpha_i)_m \right), \quad (7)$$

где $g(\cdot)$ – вспомогательная функция, для которой интегралы существуют. Также определим набор положительных чисел $\{\kappa_i\}_{i=1}^k$, таких что $\kappa_1 + \dots + \kappa_k = 1$. Тогда функция

$$\sum_{i=1}^k \kappa_i \mathbb{H}_{\alpha_i}^{\Lambda}(G_n)(x) \quad (8)$$

имеет деформацию $G_n^{\Lambda, \mathbf{f}_n}(x)$ вида (1), и деформирующая функция $\mathbf{f}_n(\cdot) \in C([0, +\infty), \mathbb{R})$ выписывается в виде

$$\mathbf{f}_n(s) = (n-2) S_{n-1} \sum_{i=1}^k \kappa_i \mathbb{H}_{\alpha_i}^1(G_n)(\sqrt{s} \hat{x}) - \begin{cases} 1, & \text{для } s \leq 1; \\ s^{1-n/2}, & \text{для } s > 1. \end{cases} \quad (9)$$

Доказательство. Обратим внимание, что если каждая функция из набора удовлетворяет критерию (3), то их выпуклая линейная комбинация тоже будет ему удовлетворять. Поэтому без ограничения общности достаточно рассмотреть лишь случай α_i для одного фиксированного i .

Заметим, по определению (7) оператор является многократным усреднением ($2 \dim(\alpha_i)$ раз). При этом из формул (5) следует, что уже однократное усреднение с радиусом $r > 0$ функции $G_n(x)$ равно

$$\frac{1}{S_{n-1}} \int_{S^{n-1}} d^{n-1} \sigma(\hat{x}) G_n(y + r\hat{x}) = G_n^{1/r, \mathbf{0}}(y)$$

и является ограниченной функцией. Следовательно, оператор $H_{\alpha_i}^\Lambda$ регуляризует фундаментальное решение. Убедимся, что при такой деформации выполняется критерий (2). Для этого применим преобразование Фурье и воспользуемся формулами (5), тогда получим неотрицательную плотность

$$\int_{\mathbb{R}^n} d^n x e^{(y, x)} H_{\alpha_i}^\Lambda(G_n)(x) = \frac{1}{|y|^2} \prod_{j=1}^{\dim(\alpha_i)} \left(\rho_n(|y|(\alpha_i)_j / \Lambda) \right)^2 \geq 0.$$

Далее проверим, что функция $H_{\alpha_i}^\Lambda(G_n)(x)$ вписывается в представление (1). Для этого заметим, что если носитель некоторой вспомогательной функции $g(\cdot)$ лежит в шаре B_{r_1} радиуса r_1 , то для носителя усреднения с радиусом r_2 выполнено соотношение

$$\text{supp} \left(\int_{S^{n-1}} \frac{d^{n-1} \sigma(\hat{y})}{S_{n-1}} g(\cdot + r_2 \hat{y}) \right) \subset B_{r_1 + r_2}.$$

Следовательно, если на каком-то шаге получается функция $\tilde{G}(x)$, которая может быть получена из $G_n(x)$ путем деформации в шаре B_{r_1} , то есть $\tilde{G}(x) = G_n(x)$ в $\mathbb{R}^n \setminus B_{r_1}$, то дополнительное усреднение с радиусом r_2 приведет к соотношению

$$\int_{S^{n-1}} \frac{d^{n-1} \sigma(\hat{y})}{S_{n-1}} \tilde{G}(x + r_2 \hat{y}) = \int_{S^{n-1}} \frac{d^{n-1} \sigma(\hat{y})}{S_{n-1}} \left(\tilde{G}(x + r_2 \hat{y}) - G_n(x + r_2 \hat{y}) \right) + G_n^{1/r_2, \mathbf{0}} = G_n(x)$$

для всех $x \in \mathbb{R}^n \setminus B_{r_1 + r_2}$. Такая процедура шаг за шагом может быть применена к усреднениям из (7). Таким образом, учитывая соотношение (6), можно утверждать, что $H_{\alpha_i}^\Lambda(G_n)(x) = G_n(x)$ для всех $x \in \mathbb{R}^n \setminus B_{1/\Lambda}$. В том числе и для $|x| = 1/\Lambda$ в силу непрерывности усредненной функции. Это означает, что функция $H_{\alpha_i}^\Lambda(G_n)(\cdot)$ имеет деформацию вида (1).

Последнее соотношение (9) получается обращением равенства (1) с дополнительным масштабированием переменных. Полученная функция является сферически симметричной и в действительности не зависит от выбора единичного вектора \hat{x} . \square

Лемма 3. Пусть верны предположения леммы 2. Выберем $k = 1$, $\dim(\alpha_1) = 1$ и $(\alpha_1)_1 = 1/2$, тогда функция (9) выписывается в явном виде

$$\mathbf{f}_n(s) = 2^{n-2} - 1 - \frac{2^{n-1} \sqrt{s} S_{n-2}}{S_{n-1}} {}_2F_1 \left(\frac{1}{2}, \frac{3-n}{2}; \frac{3}{2}; s \right) + \frac{2^{n-1} \sqrt{s} S_{n-2}}{(n-1) S_{n-1}} {}_2F_1 \left(\frac{3-n}{2}, \frac{n-1}{2}; \frac{n+1}{2}; s \right) \quad (10)$$

при $s \in [0, 1]$, и $\mathbf{f}_n(s) = 0$ при $s > 1$. Здесь ${}_2F_1$ обозначает гипергеометрическую функцию. В частности, в размерностях $n \in \{3, 4, 5, 6\}$ в области $s \in [0, 1]$ имеем следующий явный вид

$$\begin{aligned} \mathbf{f}_3(s) &= 1 - \sqrt{s}, \\ \mathbf{f}_4(s) &= 3 - \frac{4s+2}{\pi} \left(\frac{1-s}{s} \right)^{1/2} + \frac{2}{\pi} \left(\frac{1}{s} - 4 \right) \arcsin(\sqrt{s}), \\ \mathbf{f}_5(s) &= 7 - 9\sqrt{s} + 2s^{3/2}, \\ \mathbf{f}_6(s) &= 15 + \frac{2}{3\pi} (16s^3 - 56s^2 - 2s - 3) \left(\frac{1-s}{s^3} \right)^{1/2} + \frac{2}{\pi} \left(\frac{1}{s^2} - 16 \right) \arcsin(\sqrt{s}). \end{aligned}$$

Функции изображены на рис. 1.

Доказательство. Подействуем оператором Лапласа на функцию (8) при условии $\Lambda = 1$, тогда можно выписать следующее соотношение с δ -функцией в n -мерном пространстве

$$A_n(x)\mathbf{H}_{\alpha_1}^1(G_n)(x) = \int_{S^{n-1}} \frac{d^{n-1}\sigma(\hat{y})}{S_{n-1}} \int_{S^{n-1}} \frac{d^{n-1}\sigma(\hat{z})}{S_{n-1}} \delta(x + \hat{y}/2 + \hat{z}/2). \quad (11)$$

Далее воспользуемся формулой

$$\int_{S^{n-1}} d^{n-1}\sigma(\hat{z}) \delta(x + \hat{y}/2 + \hat{z}/2) = 2^{n-1} \delta(|x + y/2| - 1/2), \quad (12)$$

где в правой части стоит уже δ -функция в 1-мерном пространстве. Затем в оставшемся интегрировании по сфере перейдем в сферические координаты

$$\hat{y}_1 = \cos(\phi_1), \quad \hat{y}_2 = \sin(\phi_1) \cos(\phi_2), \quad \dots \quad \hat{y}_{n-1} = \sin(\phi_1) \cdot \dots \cdot \sin(\phi_{n-2}) \cos(\phi_{n-1}),$$

$$d^{n-1}\sigma(\hat{y}) = \sin^{n-2}(\phi_1) \sin^{n-3}(\phi_2) \cdot \dots \cdot \sin(\phi_{n-2}) d\phi_1 \dots d\phi_{n-1},$$

где $\phi_i \in [0, \pi]$ при $i \in \{1, \dots, n-2\}$, и $\phi_{n-1} \in [0, 2\pi)$. Из удобства выберем их таким образом, чтобы выполнялось соотношение

$$(x, \hat{y}) = |x| \cos(\phi_1).$$

Тогда, с учетом (12), правая часть (11) переписывается в виде

$$\frac{2^{n-1}}{S_{n-1}^2} \int_{S^{n-1}} d^{n-1}\sigma(\hat{y}) \delta(|x + y/2| - 1/2) = \frac{2^{n-1} S_{n-2}}{S_{n-1}^2} \int_0^\pi d\phi_1 \sin^{n-2}(\phi_1) \delta\left(\sqrt{|x|^2 + |x| \cos(\phi_1)} + \frac{1}{4} - \frac{1}{2}\right).$$

Последний интеграл явно вычисляется, и промежуточный ответ принимает вид

$$A_n(x)\mathbf{H}_{\alpha_1}^1(G_n)(x) = \frac{2^{n-1} S_{n-2}}{S_{n-1}^2} \begin{cases} |x|^{-1} (1 - |x|^2)^{\frac{(n-3)}{2}}, & \text{для } |x| \leq 1; \\ 0, & \text{для } |x| > 1. \end{cases} \quad (13)$$

Используя тот факт, что последняя функция зависит лишь от $|x|$, оператор $A_n(x)$ можно представить в виде $-|x|^{1-n} \partial_{|x|} |x|^{n-1} \partial_{|x|}$. Тогда, интегрируя функцию (13), с учетом того условия, что результат должен совпадать с $G_n(x)$ при $|x| > 1$, и подставляя ее в формулу (9), получаем заявленное соотношение (10). Частные случаи следуют из определения гипергеометрической функции. \square

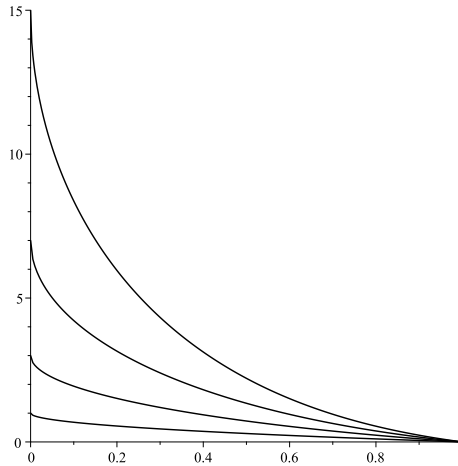


Рис. 1: Функция $\mathbf{f}_n(s)$ для $n \in \{3, 4, 5, 6\}$ и $s \in [0, 1]$. На изображении $\mathbf{f}_3(0) < \mathbf{f}_4(0) < \mathbf{f}_5(0) < \mathbf{f}_6(0)$.

Лемма 4. Пусть выполнены условия леммы 3. Рассмотрим два набора положительных чисел $\{\kappa_i\}_{i=1}^{+\infty}$ и $\{r_i\}_{i=1}^{+\infty}$, удовлетворяющих следующим условиям

$$\sum_{i=1}^{+\infty} \kappa_i = 1, \quad \lim_{i \rightarrow +\infty} (r_i) = 0, \quad \sum_{i=1}^{+\infty} \kappa_i r_i^{-n} = \kappa < +\infty. \quad (14)$$

Пусть $r = \max_{i \geq 1} (r_i)$. Далее каждому r_i сопоставим деформированное фундаментальное решение $G_n^{\Lambda/r_i, \mathbf{f}_n}$, где $\mathbf{f}_n(\cdot)$ из (10). Тогда функция

$$\sum_{i=1}^{+\infty} \kappa_i G_n^{\Lambda/r_i, \mathbf{f}_n} \quad (15)$$

является деформацией $G_n^{\Lambda/r, \tilde{\mathbf{f}}_n}$ вида (1) для решения $G_n(x)$, а соответствующая деформирующая функция $\tilde{\mathbf{f}}_n(\cdot)$ решает неравенство (3) в строгой формулировке, то есть со знаком $>$ вместо \geq .

Замечание. В качестве примеров последовательностей можно взять $\kappa_i = 2^{-i}$ и $r_i = 2^{-i/(2n)}$.

Доказательство. Заметим, что каждое отдельное слагаемое в сумме (15) имеет деформацию вида (1). Более того, функция $G_n^{\Lambda/r_i, \mathbf{f}_n}$ совпадает с $G_n(x)$ при всех $i \geq 1$ и $x \in \mathbb{R}^n \setminus B_{r/\Lambda}$. Следовательно, учитывая первое равенство из (14), убеждаемся, что сумма (15) равна $G_n(x)$ в области $x \in \mathbb{R}^n \setminus B_{r/\Lambda}$. Далее проверим, что сумма конечна в области $B_{r/\Lambda}$. Определим следующее число

$$M = \max_{x \in B_1} \left(\frac{|\mathbf{f}_n(|x|^2)| + 1}{(n-2)S_{n-1}} \right).$$

Тогда, учитывая справедливость $B_{r_i/\Lambda} \subset B_{r/\Lambda}$ для всех $i \geq 1$, каждую функцию $G_n^{\Lambda/r_i, \mathbf{f}_n}$ в шаре радиусом r/Λ можно оценить следующим образом

$$|G_n^{\Lambda/r_i, \mathbf{f}_n}(x)| \leq \frac{(\Lambda/r_i)^{n-2}}{(n-2)S_{n-1}} |\mathbf{f}_n(|x|^2 \Lambda^2/r_i^2)| + \frac{(\Lambda/r_i)^{n-2}}{(n-2)S_{n-1}} \leq (\Lambda/r_i)^{n-2} M.$$

Таким образом, справедлива следующая оценка

$$\left| \sum_{i=1}^{+\infty} \kappa_i G_n^{\Lambda/r_i, \mathbf{f}_n}(x) \right| \leq \sum_{i=1}^{+\infty} \kappa_i |G_n^{\Lambda/r_i, \mathbf{f}_n}(x)| \leq \Lambda^{n-2} M r^2 \sum_{i=1}^{+\infty} \kappa_i r_i^{-n} (r_i/r)^2 \leq \Lambda^{n-2} M r^2 \kappa,$$

из которой следует ограниченность и существование деформированной функции. Непрерывность предельной функции следует из равномерной сходимости, которая может быть получена с применением признака Вейерштрасса. Несмотря на то, что для последней оценки достаточно иметь сходимость ряда с членами $\kappa_i r_i^{2-n}$, запас в степени (r_i^{-n} вместо r_i^{2-n}) обеспечивает существование двух производных.

Покажем, что соотношение (2) выполняется в строгой форме для функции $G_n^{\Lambda/r, \tilde{\mathbf{f}}_n}$. Для этого применим преобразование Фурье

$$\hat{G}_n^{\Lambda/r, \tilde{\mathbf{f}}_n}(y) = \sum_{i=1}^{+\infty} \kappa_i \hat{G}_n^{\Lambda/r_i, \mathbf{f}_n}(y) = \frac{1}{|y|^2} \sum_{i=1}^{+\infty} \kappa_i \left(\rho_n(|y|r_i/(2\Lambda)) \right)^2. \quad (16)$$

Далее необходимо показать, что для любого значения $y \in \mathbb{R}^n$ и для всех $\Lambda > N > 0$ для некоторого фиксированного N последняя сумма строго больше нуля. Заметим, что функция $\rho_n(\cdot)$ является осциллирующей, см. (4), при этом она начинается с точки $\rho_n(0) = 1$. Пусть число θ обозначает первый нуль. Затем обратим внимание, что из второго соотношения из (14) следует, что существуют числа r_j со сколь угодно малой величиной. Далее фиксируем произвольное $N > 0$. Тогда для любого $y \in \mathbb{R}^n$ можно найти такое малое r_j , что неравенство $|y|r_j/\Lambda \leq \theta$ будет выполняться для всех $\Lambda > N$. В этом случае, продолжая (16), можно написать

$$\hat{G}_n^{\Lambda/r, \tilde{\mathbf{f}}_n}(y) \geq \frac{\kappa_j m^2}{|y|^2} > 0, \quad \text{где } m = \min_{s \in [0, |y|]} \left(\rho_n(sr_j/(2\Lambda)) \right),$$

из чего и следует выполнимость неравенства в строгой форме. \square

3 Заключение

В работе изучен критерий допустимости для регуляризации обрезанием в координатном представлении в евклидовом пространстве с размерностью больше двух. Построены примеры деформаций, удовлетворяющих критерию. Разобрано условие в более строгой формулировке.

В тексте целенаправленно опущен случай с размерностью $n = 2$. Это связано с тем фактом, что в деформации могут участвовать логарифмические особенности вида $\ln(\Lambda/\sigma)$, поэтому анзац может содержать несколько слагаемых. Такой случай предполагается изучить в отдельной работе с соответствующими примерами. Применение регуляризации с $n = 2$ может быть найдено в [10].

Благодарности. Работа финансово поддержана Министерством науки и высшего образования РФ, грант 075-15-2022-289, и фондом развития теоретической физики и математики «БАЗИС», грант «Молодая Математика России».

Автор выражает благодарность Н.В.Харук за аккуратное прочтение текста, многочисленные комментарии, критику и предложения. Дополнительно А.В.Иванов выражает особую благодарность Н.В.Харук и К.А.Иванову за создание благоприятной и стимулирующей обстановки для написания работы.

Заявление о доступности данных. Обмен данными неприменим к данной статье, поскольку в ходе текущего исследования не были сгенерированы или проанализированы никакие наборы данных.

Заявление о конфликте интересов. Автор утверждает, что конфликта интересов нет.

Список литературы

- [1] M. E. Peskin, D. V. Schroeder, *An Introduction to Quantum Field Theory*, Addison-Wesley, 1–868 (1995)
- [2] O. I. Zavialov, *Renormalized quantum field theory*, Kluwer Academic Publishers, Dordrecht, Boston, 1–524 (1990)
- [3] I. M. Gel'fand, G. E. Shilov, *Generalized Functions, Volume 1: Properties and Operations*, AMS Chelsea Publishing **377**, 1–423 (1964)
- [4] A. V. Ivanov, N. V. Kharuk, *Quantum equation of motion and two-loop cutoff renormalization for ϕ^3 model*, Zap. Nauchn. Sem. POMI, **487**, POMI, St. Petersburg, 2019, 151–166; J. Math. Sci. (N. Y.), **257**:4 (2021), 526–536, arXiv:2203.04562, 10.1007/s10958-021-05500-5
- [5] A. V. Ivanov, *Explicit Cutoff Regularization in Coordinate Representation*, 2022 J. Phys. A: Math. Theor. **55**, 495401, arXiv:2209.01783, 10.1088/1751-8121/aca8dc
- [6] A. V. Ivanov, N. V. Kharuk, *Two-Loop Cutoff Renormalization of 4-D Yang–Mills Effective Action*, 2020 J. Phys. G: Nucl. Part. Phys. **48**, 015002, arXiv:2004.05999, 10.1088/1361-6471/abb939
- [7] A. V. Ivanov, N. V. Kharuk, *Formula for two-loop divergent part of 4-D Yang–Mills effective action*, Eur. Phys. J. C **82**, 997 (2022), arXiv:2203.07131, 10.1140/epjc/s10052-022-10921-w
- [8] A. V. Ivanov, N. V. Kharuk, *Three-loop divergences in effective action of 4-dimensional Yang–Mills theory with cutoff regularization: Γ_4^2 -contribution*, Zap. Nauchn. Sem. POMI, **520**, POMI, St. Petersburg, 2023, 162–188
- [9] E. Stein, G. Weiss, *Introduction to Fourier Analysis on Euclidean Spaces*, Princeton, NJ: Princeton University Press, 1–312 (1971)
- [10] P. V. Akacevich, A. V. Ivanov, *On Two-Loop Effective Action of 2D Sigma Model*, Eur. Phys. J. C **83**, 653 (2023), arXiv:2304.02374, 10.1140/epjc/s10052-023-11797-0